

Министерство образования и науки Российской Федерации
МОСКОВСКИЙ ФИЗИКО-ТЕХНИЧЕСКИЙ ИНСТИТУТ
(государственный университет)
ФАКУЛЬТЕТ АЭРОФИЗИКИ И КОСМИЧЕСКИХ ИССЛЕДОВАНИЙ
КАФЕДРА МЕХАНИКИ И ПРОЦЕССОВ УПРАВЛЕНИЯ

Определение углового движения по видеоизображению

Студент

Julio Cesar Molina Saqui

Научный руководитель

к.ф.-м.н., доц. С.С. Ткачев

г. Москва

2020

Содержание

- **Введение**
- **Постановка задача**
- **Элементы модели измерения**
- **Модель измерений и ее градиент**
- **Алгоритм для калибровки и результаты**
- **Пространство состояний системы**
- **Задание матриц для работы дискретного ЕКФ**
- **Задание матриц для работы непрерывного ЕКФ**
- **Экспериментальные исследования**
- **Заключение**
- **Литература**

Введение I

Было проведено множество исследований по измерению параметров движения объектов с помощью камер, где большое значение имело развитие методов калибровки камеры. Два исследования в области калибровки камеры примечательны тем, что, помимо определения внутренних параметров камеры, в процессе калибровки определяется положение трехмерного объекта в пространстве:

- Tsai¹ представил метод калибровки трехмерной (3D) камеры для метрологии машинного зрения, основанный на преобразовании трехмерных координат в изображение. где матрица поворота параметризована с использованием углов Эйлера.
- Zhang² представил метод, который также основан на преобразовании трехмерных координат в изображение, где матрица поворота параметризуется с использованием Формулы поворота Родрига.

$$R = \begin{bmatrix} \cos \psi \cos \theta & \sin \psi \cos \theta & -\sin \theta \\ -\sin \psi \cos \phi + \cos \psi \sin \theta \cos \phi & \cos \psi \cos \phi + \sin \psi \sin \theta \sin \phi & \cos \theta \sin \phi \\ \sin \psi \sin \phi + \cos \psi \sin \theta \cos \phi & -\cos \psi \sin \phi + \sin \psi \sin \theta \cos \phi & \cos \theta \cos \phi \end{bmatrix}$$

$$R(\alpha, \mathbf{u}) = I_3 \cos \alpha + (1 - \cos \alpha) \mathbf{u} \mathbf{u}^T + [\mathbf{u}]_x \sin \alpha$$

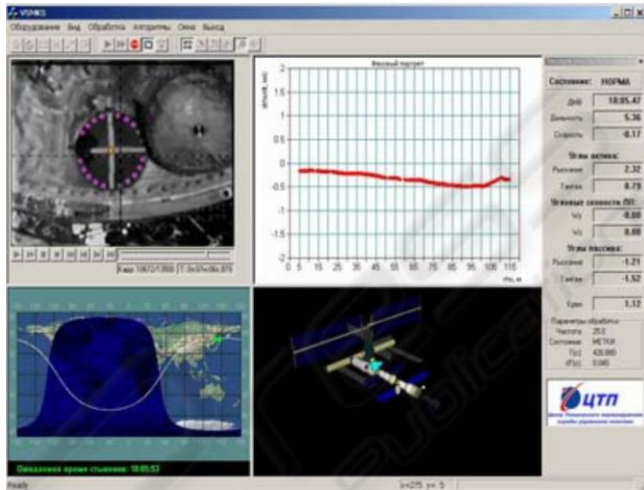
¹ R. Y. Tsai, "A Versatile Camera Calibration Techniaue for High-Accuracy 3D Machine Vision Metrology Using Off-the-shelf TV Cameras and Lenses, IEEE Journal on Robotics and Automation, 1987, Vol. 3, No. 4, pp. 323 – 344.

² Z. Zhang. *Flexible Camera Calibration By Viewing a Plane From Unknown Orientations*, Proceedings of the Seventh IEEE International Conference on Computer Vision, Kerkyra, Greece, Greece, September 20-27,1999.

Введение II

Несколько лет назад возрос интерес к оценке параметров движения при обработке изображений для космических приложений:

А.А.Вогуславский³ представил программный пакет, который с помощью видеосигнала, полученного от телекамеры, установленной на борту космического корабля, позволяет осуществлять автоматический визуальный мониторинг стыковки корабля "Прогресс" с Международной космической станцией.



При реальной стыковке матрица перехода представляется следующим образом

$$\|a_{ij}\| = \begin{vmatrix} 1 & -\varphi_3 & \varphi_2 \\ -\varphi_3 & -1 & \varphi_1 \\ \varphi_2 & -\varphi_1 & -1 \end{vmatrix}$$

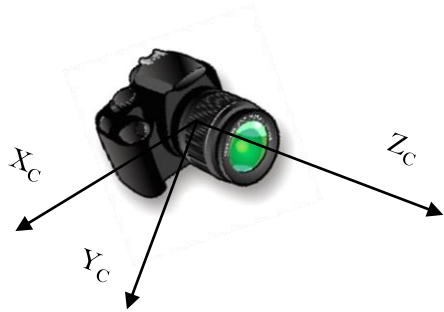
Д. Иванов⁴, предложил алгоритм определения относительного положения и ориентации спутника путем обработки изображений космического аппарата, освещенного солнцем. Этот алгоритм использовался для определения относительного движения микроспутника ChibisM.



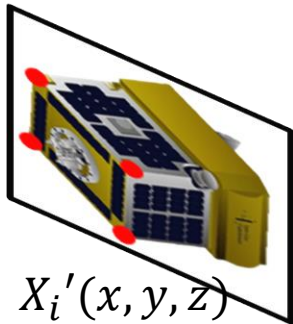
³ А.А.Вогуславский, В.В.Сазонов, С.М.Сokolov, А.И.Смирнов, Kh.S.Saigiraeв. *Automatic vision-based monitoring of the spacecraft docking approach with the International Space Station*, Proceedings of the First International Conference on Informatics in Control, Automation and Robotics, 2004, pp. 79-86

⁴ Иванов Д. С., Карпенко С.О., Овчинников М. Ю., Сакович М.А. *Определение относительного движения спутников при их разделении по результатам обработки видеоизображения*, Препринт ИПМ им. М.В. Келдыша, 2012, № 57, 24 с.

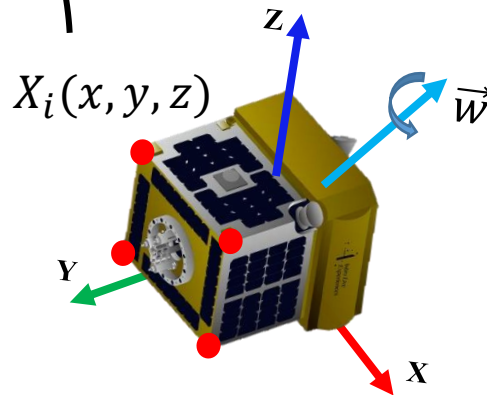
Постановка задачи



доступное изображение, в котором можно определить положение точек $X_i(x, y, z)$ на изображении.



R, T_c



$X_i(x, y, z)$: местоположение конкретных точек объекта относительно его связанной системы координат XYZ известно

Необходимо определить ориентацию и угловой скорости объекта одновременно, используя следующие данные:

X_i : Точки объекта относительно связанной системы координат XYZ

X_i' : Точки X_i , в проекции на оси системы координат изображения

Для этого необходимо:

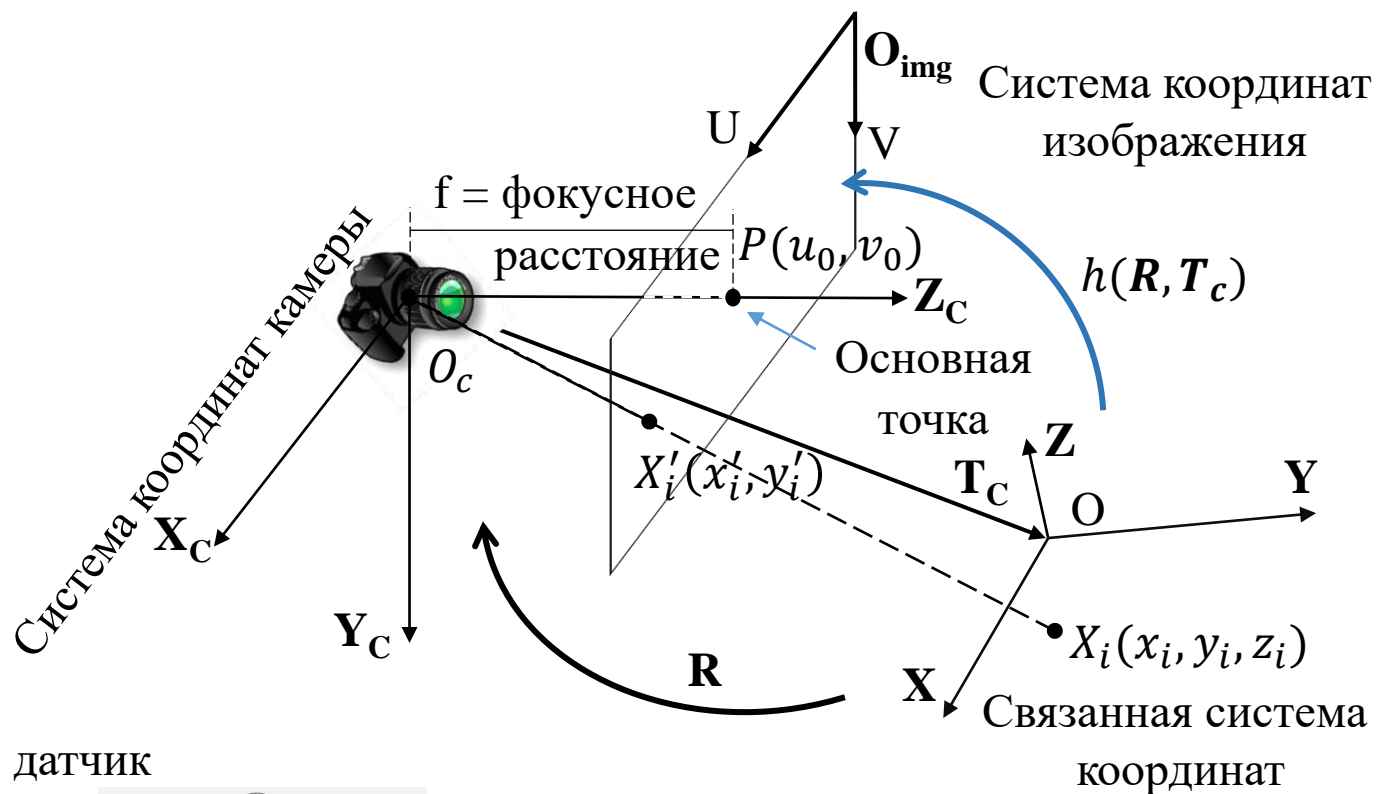
- Найти некоторую функцию, которая выполняет проекцию точек в систему координат изображения^{1,2} и адаптировать его для использования кватернионов
- Определить угловую скорость с помощью

¹ R. Y. Tsai, "A Versatile Camera Calibration Technique for High-Accuracy 3D Machine Vision Metrology Using Off-the-shelf TV Cameras and Lenses, IEEE Journal on Robotics and Automation, 1987, Vol. 3, No. 4, pp. 323 – 344.

² Z. Zhang. Flexible Camera Calibration By Viewing a Plane From Unknown Orientations, Proceedings of the Seventh IEEE International Conference on Computer Vision, Kerkyra, Greece, Greece, September 20-27, 1999.

Элементы модели измерения

Модель камеры с точечным отверстием описывает



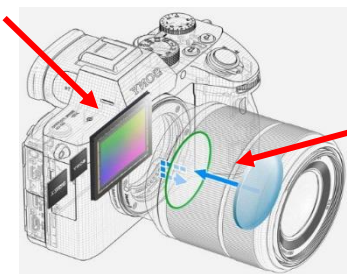
Описывает математическое соотношение между координатами точки в трехмерном пространстве и ее проекцией на плоскость изображения

Внутренние параметры (зависят только от свойств камеры):

- f – фокусное расстояние (mm)
- (u_0, v_0) – Основная точка (pixel)
- α_x и α_y – размеры пикселя (pixel/mm)
- S – коэффициент скоса
- k_1, k_2, k_3, p_1, p_2 – коэффициенты искажения

Внешние параметры R и T_c

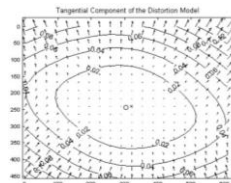
датчик



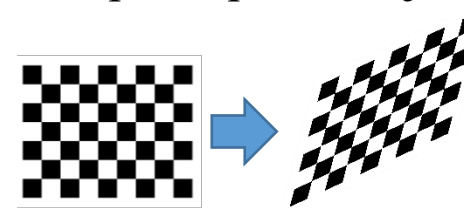
объективы



Радиальное Искражение



Тангенциальное Искражение



Скос
(Skew)

Модель измерения

Координаты точек переводятся из связанной системы координат в систему координат камеры

$$X_{c_i} = \begin{bmatrix} x_{c_i} \\ y_{c_i} \\ z_{c_i} \end{bmatrix} = R \begin{bmatrix} x_i \\ y_i \\ z_i \end{bmatrix} + T_c$$

Проекция точки на плоскость датчика изображения

$$X_{c_{p_i}} = \begin{bmatrix} x_{c_{p_i}} \\ y_{c_{p_i}} \end{bmatrix} = \begin{bmatrix} x_{c_i}/z_{c_i} \\ y_{c_i}/z_{c_i} \end{bmatrix}$$

Искажение (радиальное и тангенциальное) из-за объектива камеры⁵

$$r_i^2 = x_{c_{p_i}}^2 + y_{c_{p_i}}^2$$

$$X_{d_i} = \begin{bmatrix} x_{d_i} \\ y_{d_i} \end{bmatrix} = \begin{bmatrix} x_{c_{p_i}}(1 + k_1 r_i^2 + k_2 r_i^4 + k_3 r_i^6) + 2p_1 x_{c_{p_i}} y_{c_{p_i}} + p_2 (r_i^2 + 2x_{c_{p_i}}^2) \\ y_{c_{p_i}}(1 + k_1 r_i^2 + k_2 r_i^4 + k_3 r_i^6) + 2p_2 x_{c_{p_i}} y_{c_{p_i}} + p_1 (r_i^2 + 2y_{c_{p_i}}^2) \end{bmatrix}$$

Координаты точек переводятся из плоскости датчика изображения в систему координат изображения

$$X_{p_i} = \begin{bmatrix} x_{p_i} \\ y_{p_i} \end{bmatrix} = \begin{bmatrix} (x_{d_i} + S y_{d_i}) \alpha_x f + u_0 \\ \alpha_y f y_{d_i} + v_0 \end{bmatrix} = \begin{bmatrix} (x_{d_i} + S y_{d_i}) f_x + u_0 \\ y_{d_i} f_y + v_0 \end{bmatrix}$$

Где α_x и α_y Ширина и высота пикселя

$$X_{p_i} = h(X_i, f_x, f_y, u_0, v_0, S, k_1, k_2, k_3, p_1, p_2; R, T_c)$$

h является функцией, которая выполняет проекцию точек в систему координат изображения

X_{p_i} : Проецируемая точка в системе координат изображения

h используемая для калибровки камеры, Главная цель калибровки – определение внутренних параметров, которые зависят только от свойств камеры.

После калибровки h зависит только от R и T_c

⁵ D. C. Brown, *Decentering Distortion of Lenses*, *Photometric Engineering* 32(3), 1966, pp. 444–462.

Градиент модели измерения

В связи с тем, что модель измерения является составной функцией нескольких преобразований, включающих вектор и матрицы, удобно определять градиент с помощью матричного исчисления.

Пусть:

Фокусное расстояние : $F = [f_x \quad f_y](\text{pixel})$

Основная точка $C = [u_0 \quad v_0]$ (pixel)

Коэффициенты искажения : $K_D = [k_1 \quad k_2 \quad p_1 \quad p_2 \quad k_3]$

Коэффициент скоса : S

Модель измерения будет переписана следующим образом

$$X_{p_i} = h(X_i, f_x, f_y, u_0, v_0, S, k_1, k_2, k_3, p_1, p_2, R, T_c)$$



$$X_{p_i} = \begin{bmatrix} x_{p_i} \\ y_{p_i} \end{bmatrix} = h(X_i, F, C, S, K_D, \vec{q}, T_c)$$

Градиент модели измерения (для одной точки):

$$Dh = \begin{bmatrix} \frac{\partial h}{\partial F} & \frac{\partial h}{\partial C} & \frac{\partial h}{\partial S} & \frac{\partial h}{\partial K_D} & \frac{\partial h}{\partial \vec{q}} & \frac{\partial h}{\partial T_c} \end{bmatrix}$$

Градиент модели измерения

Производная по фокусному расстоянию

$$\frac{\partial h}{\partial F} = \begin{bmatrix} \frac{\partial x_{p_i}}{\partial F} \\ \frac{\partial y_{p_i}}{\partial F} \end{bmatrix} = \begin{bmatrix} x_{d_i} + sy_{d_i} & 0 \\ 0 & y_{d_i} \end{bmatrix}$$

Производная по координатам центральной точки изображения

$$\frac{\partial h}{\partial C} = \begin{bmatrix} \frac{\partial x_{p_i}}{\partial C} \\ \frac{\partial y_{p_i}}{\partial C} \end{bmatrix} = \begin{bmatrix} 1 & 0 \\ 0 & 1 \end{bmatrix}$$

Производная по коэффициенту скоса

$$\frac{\partial h}{\partial s} = \begin{bmatrix} \frac{\partial x_{p_i}}{\partial s} \\ \frac{\partial y_{p_i}}{\partial s} \end{bmatrix} = \begin{bmatrix} y_{p_i} f_x \\ 0 \end{bmatrix}$$

Производная по коэффициентам искажения изображения

$$\frac{\partial h}{\partial K_D} = \begin{bmatrix} \frac{\partial x_{p_i}}{\partial K_D} \\ \frac{\partial y_{p_i}}{\partial K_D} \end{bmatrix} = \begin{bmatrix} x_{cp_i}(x_{cp_i}^2 + y_{cp_i}^2) & x_{cp_i}(x_{cp_i}^2 + y_{cp_i}^2)^2 & 2x_{d_i}y_{d_i} & y_{cp_i}^2 + 3x_{cp_i}^2 & x_{cp_i}(x_{cp_i}^2 + y_{cp_i}^2)^3 \\ y_{cp_i}(x_{cp_i}^2 + y_{cp_i}^2) & y_{cp_i}(x_{cp_i}^2 + y_{cp_i}^2)^2 & x_{cp_i}^2 + 3y_{cp_i}^2 & 2x_{d_i}y_{d_i} & y_{cp_i}(x_{cp_i}^2 + y_{cp_i}^2)^3 \end{bmatrix}$$

Градиент модели измерения

$$\frac{\partial h}{\partial T_c} = \begin{bmatrix} \frac{\partial x_{p_i}}{\partial T_c} \\ \frac{\partial y_{p_i}}{\partial T_c} \end{bmatrix}$$



Производная по вектору переноса
(расстояния между камерой и объектом)

$$\frac{\partial x_{p_i}}{\partial T_c}$$

$$= f_x \left(D_{r_i} \frac{\partial x_{cp_i}}{\partial T_c} + x_{cp_i} \left[k_1 \frac{\partial(r_i^2)}{\partial T_c} + k_2 \frac{\partial(r_i^4)}{\partial T_c} + k_3 \frac{\partial(r_i^6)}{\partial T_c} \right] + (2p_1 y_{cp_i} + 6p_2 x_{cp_i}) \frac{\partial x_{cp_i}}{\partial T_c} + (2p_1 x_{cp_i} + 2p_2 y_{cp_i}) \frac{\partial y_{cp_i}}{\partial T_c} \right) + sf_x \left(D_{r_i} \frac{\partial y_{cp_i}}{\partial T_c} + y_{cp_i} \left[k_1 \frac{\partial(r_i^2)}{\partial T_c} + k_2 \frac{\partial(r_i^4)}{\partial T_c} + k_3 \frac{\partial(r_i^6)}{\partial T_c} \right] + (2p_2 y_{cp_i} + 2p_1 x_{cp_i}) \frac{\partial x_{cp_i}}{\partial T_c} + (2p_2 x_{cp_i} + 6p_1 y_{cp_i}) \frac{\partial y_{cp_i}}{\partial T_c} \right)$$

$$\frac{\partial y_{p_i}}{\partial T_c} = f_y \left(D_{r_i} \frac{\partial y_{cp_i}}{\partial T_c} + y_{cp_i} \left[k_1 \frac{\partial(r_i^2)}{\partial T_c} + k_2 \frac{\partial(r_i^4)}{\partial T_c} + k_3 \frac{\partial(r_i^6)}{\partial T_c} \right] + (2p_2 y_{cp_i} + 2p_1 x_{cp_i}) \frac{\partial x_{cp_i}}{\partial T_c} + (2p_2 x_{cp_i} + 6p_1 y_{cp_i}) \frac{\partial y_{cp_i}}{\partial T_c} \right)$$

$$\frac{\partial(r_i^2)}{\partial T_c} = 2[x_{cp_i} \quad y_{cp_i}] \frac{\partial X_{cp_i}}{\partial T_c}$$

$$\frac{\partial(r_i^4)}{\partial T_c} = 2r_i^2 \frac{\partial(r_i^2)}{\partial T_c} = 4(x_{cp_i}^2 + y_{cp_i}^2) [x_{cp_i} \quad y_{cp_i}] \frac{\partial X_{cp_i}}{\partial T_c}$$

$$\frac{\partial(r_i^6)}{\partial T_c} = 3r_i^4 \frac{\partial(r_i^2)}{\partial T_c} = 6(x_{cp_i}^2 + y_{cp_i}^2)^2 [x_{cp_i} \quad y_{cp_i}] \frac{\partial X_{cp_i}}{\partial T_c}$$

$$\frac{\partial X_{cp_i}}{\partial T_c} = \begin{bmatrix} \frac{\partial x_{cp_i}}{\partial T_c} \\ \frac{\partial y_{cp_i}}{\partial T_c} \end{bmatrix} = \begin{bmatrix} 1 & 0 & -\frac{x_{c_i}}{z_{c_i}^2} \\ 0 & 1 & -\frac{y_{c_i}}{z_{c_i}^2} \end{bmatrix}$$

Градиент модели измерения

$$\frac{\partial h}{\partial \vec{q}} = \frac{\partial h}{\partial R} \frac{\partial R(\vec{q})}{\partial \vec{q}}$$



Производная по ориентации объекта
(ориентация выражается через кватернионы)

$$\frac{\partial h}{\partial R} = \begin{bmatrix} \frac{\partial x_{p_i}}{\partial R} \\ \frac{\partial y_{p_i}}{\partial R} \end{bmatrix}$$

$$\frac{\partial x_{p_i}}{\partial R}$$

$$= f_x \left(D_{r_i} \frac{\partial x_{cp_i}}{\partial R} + x_{cp_i} \left[k_1 \frac{\partial(r_i^2)}{\partial R} + k_2 \frac{\partial(r_i^4)}{\partial R} + k_3 \frac{\partial(r_i^6)}{\partial R} \right] + (2p_1 y_{cp_i} + 6p_2 x_{cp_i}) \frac{\partial x_{cp_i}}{\partial R} + (2p_1 x_{cp_i} + 2p_2 y_{cp_i}) \frac{\partial y_{cp_i}}{\partial R} \right) + sf_x \left(D_{r_i} \frac{\partial y_{cp_i}}{\partial R} + y_{cp_i} \left[k_1 \frac{\partial(r_i^2)}{\partial R} + k_2 \frac{\partial(r_i^4)}{\partial R} + k_3 \frac{\partial(r_i^6)}{\partial R} \right] + (2p_2 y_{cp_i} + 2p_1 x_{cp_i}) \frac{\partial x_{cp_i}}{\partial R} + (2p_2 x_{cp_i} + 6p_1 y_{cp_i}) \frac{\partial y_{cp_i}}{\partial R} \right)$$

$$\frac{\partial y_{p_i}}{\partial R}$$

$$= f_y \left(D_{r_i} \frac{\partial y_{cp_i}}{\partial R} + y_{cp_i} \left[k_1 \frac{\partial(r_i^2)}{\partial R} + k_2 \frac{\partial(r_i^4)}{\partial R} + k_3 \frac{\partial(r_i^6)}{\partial R} \right] + (2p_2 y_{cp_i} + 2p_1 x_{cp_i}) \frac{\partial x_{cp_i}}{\partial R} + (2p_2 x_{cp_i} + 6p_1 y_{cp_i}) \frac{\partial y_{cp_i}}{\partial R} \right)$$

$$D_{r_i} = 1 + k_1 r_i^2 + k_2 r_i^4 + k_3 r_i^6$$

Градиент модели измерения

$$\frac{\partial(r_i^2)}{\partial R} = 2[x_{cp_i} \quad y_{cp_i}] \frac{\partial X_{cp_i}}{\partial R} \qquad \frac{\partial(r_i^4)}{\partial R} = 2r_i^2 \frac{\partial(r_i^2)}{\partial R} = 4(x_{cp_i}^2 + y_{cp_i}^2) [x_{cp_i} \quad y_{cp_i}] \frac{\partial X_{cp_i}}{\partial R}$$

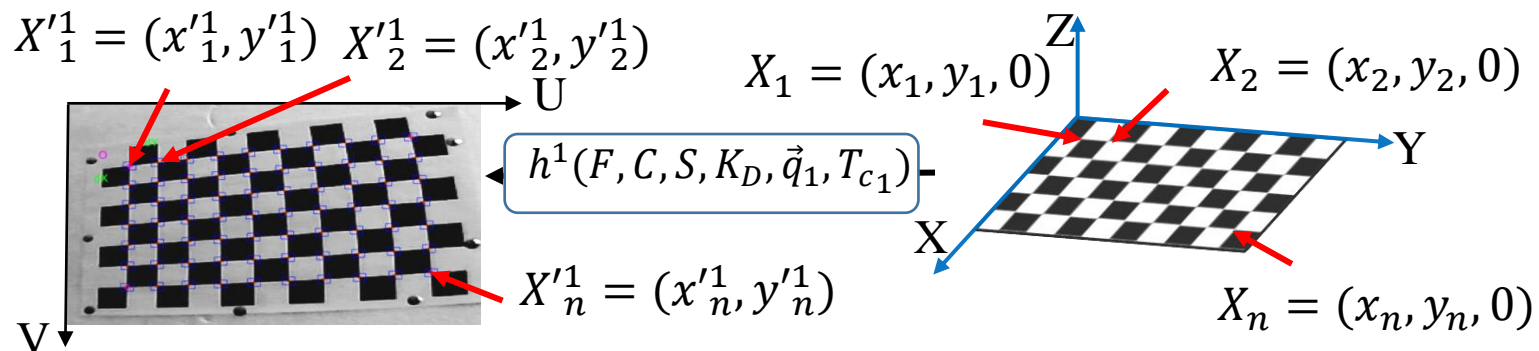
$$\frac{\partial(r_i^6)}{\partial R} = 3r_i^4 \frac{\partial(r_i^2)}{\partial R} = 6(x_{cp_i}^2 + y_{cp_i}^2)^2 [x_{cp_i} \quad y_{cp_i}] \frac{\partial X_{cp_i}}{\partial R}$$

$$\frac{\partial R}{\partial \vec{q}} = \begin{bmatrix} 0 & -4\lambda_2 & -4\lambda_3 \\ 2\lambda_2 - 2\lambda_3 \lambda_1/\lambda_0 & 2\lambda_1 - 2\lambda_3 \lambda_2/\lambda_0 & 2\lambda_0 - 2\lambda_3 \lambda_3/\lambda_0 \\ 2\lambda_3 + 2\lambda_2 \lambda_1/\lambda_0 & -2\lambda_0 + \lambda_2 \lambda_2/\lambda_0 & 2\lambda_1 + 2\lambda_2 \lambda_3/\lambda_0 \\ 2\lambda_2 + 2\lambda_3 \lambda_1/\lambda_0 & 2\lambda_1 + 2\lambda_3 \lambda_2/\lambda_0 & -2\lambda_0 + 2\lambda_3 \lambda_3/\lambda_0 \\ -4\lambda_1 & 0 & -4\lambda_3 \\ 2\lambda_0 - 2\lambda_1 \lambda_1/\lambda_0 & 2\lambda_3 - 2\lambda_1 \lambda_2/\lambda_0 & 2\lambda_2 - 2\lambda_1 \lambda_3/\lambda_0 \\ 2\lambda_3 - 2\lambda_2 \lambda_1/\lambda_0 & 2\lambda_0 - 2\lambda_2 \lambda_2/\lambda_0 & 2\lambda_1 - 2\lambda_2 \lambda_3/\lambda_0 \\ -2\lambda_0 + 2\lambda_1 \lambda_1/\lambda_0 & 2\lambda_3 + 2\lambda_1 \lambda_2/\lambda_0 & 2\lambda_2 + 2\lambda_1 \lambda_3/\lambda_0 \\ -4\lambda_1 & -4\lambda_2 & 0 \end{bmatrix}$$

Алгоритм для калибровки

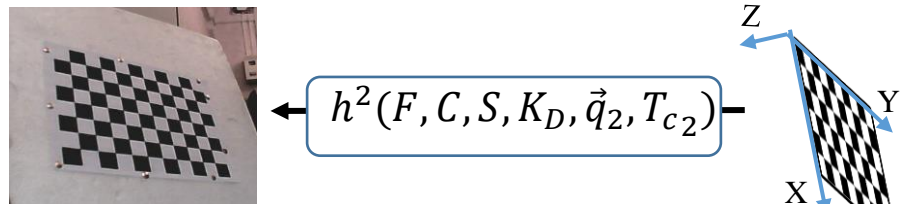
Изображения 1

связанная система координат

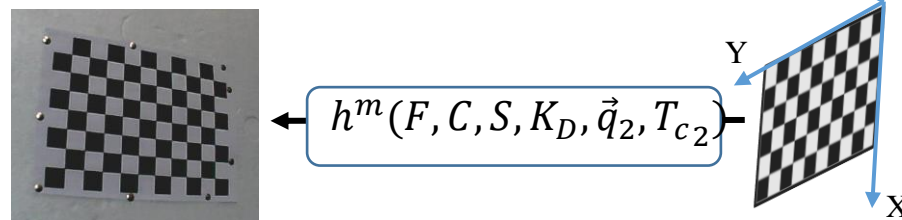


аналогично

Изображения 2



Изображения m



$k = 1, 2, \dots, m$

h^k : модель измерения, которая проецирует точки X_i на k -е изображение

X_i^k : Точка X_i в k -ом изображении

вектор ошибок :

$$\epsilon = \begin{bmatrix} X'_1{}^1 - h(X_1, F, C, S, K_D, \vec{q}_1, T_{c1}) \\ X'_2{}^1 - h(X_2, F, C, S, K_D, \vec{q}_1, T_{c1}) \\ \vdots \\ X'_n{}^1 - h(X_n, F, C, S, K_D, \vec{q}_1, T_{c1}) \\ X'_1{}^2 - h(X_1, F, C, S, K_D, \vec{q}_2, T_{c2}) \\ X'_2{}^2 - h(X_2, F, C, S, K_D, \vec{q}_2, T_{c2}) \\ \vdots \\ X'_n{}^2 - h(X_n, F, C, S, K_D, \vec{q}_2, T_{c2}) \\ \vdots \\ X'_i{}^k - h(X_i, F, C, S, K_D, \vec{q}_k, T_{c_k}) \\ \vdots \\ X'_1{}^m - h(X_1, F, C, S, K_D, \vec{q}_m, T_{c_m}) \\ X'_2{}^m - h(X_2, F, C, S, K_D, \vec{q}_m, T_{c_m}) \\ \vdots \\ X'_n{}^m - h(X_n, F, C, S, K_D, \vec{q}_m, T_{c_m}) \end{bmatrix}$$

Алгоритм для калибровки

Пусть h^k :

$$h^k = \begin{bmatrix} h(X_1, F, C, S, K_D, \vec{q}_k, T_{c_k}) \\ h(X_2, F, C, S, K_D, \vec{q}_k, T_{c_k}) \\ \vdots \\ h(X_n, F, C, S, K_D, \vec{q}_k, T_{c_k}) \end{bmatrix}$$

Пусть X'^k – векторное представление всех точек в k -ом изображении

$$X'^k = [x'_1, y'_1, x'_2, y'_2, \dots, x'_n, y'_n]^T$$

Вектор ошибок будет переписана следующим образом

$$\epsilon(M) = \begin{bmatrix} X'^1 - h^1(F, C, S, K_D, \vec{q}_1, T_{c_1}) \\ X'^2 - h^2(F, C, S, K_D, \vec{q}_2, T_{c_2}) \\ \vdots \\ X'^m - h^m(F, C, S, K_D, \vec{q}_m, T_{c_m}) \end{bmatrix}$$

Параметров калибровки: $M = [F, C, S, K_D, \vec{q}_1, T_{c_1}, \dots, \vec{q}_k, T_{c_k}]$

Задача : $\min |\epsilon(M)|^2$

Алгоритм Гаусса - Ньютона :

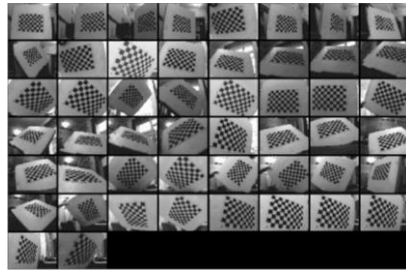
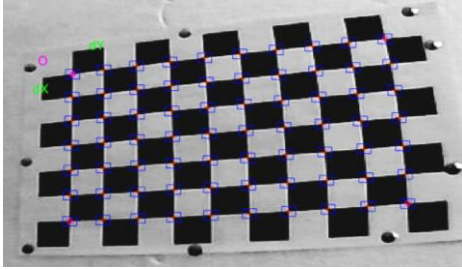
$$\epsilon_s = \epsilon(M_s) \quad M_0, \epsilon_0 = \epsilon(M_0)$$

$$M_{s+1} = M_s + \Delta M, \text{ где } \Delta M = (J^T J)^{-1} J^T \epsilon_s$$

Матрица Якоби

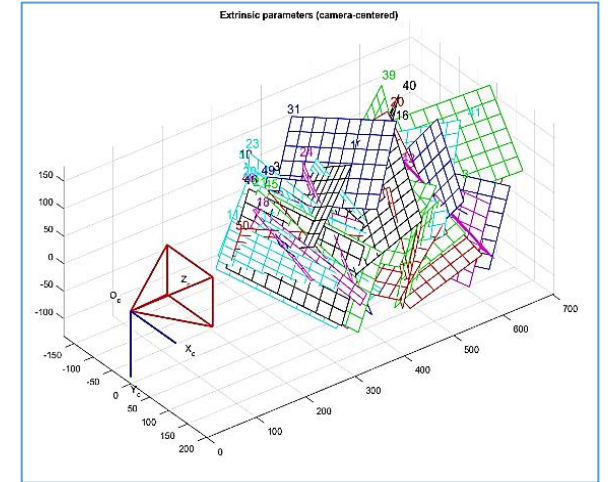
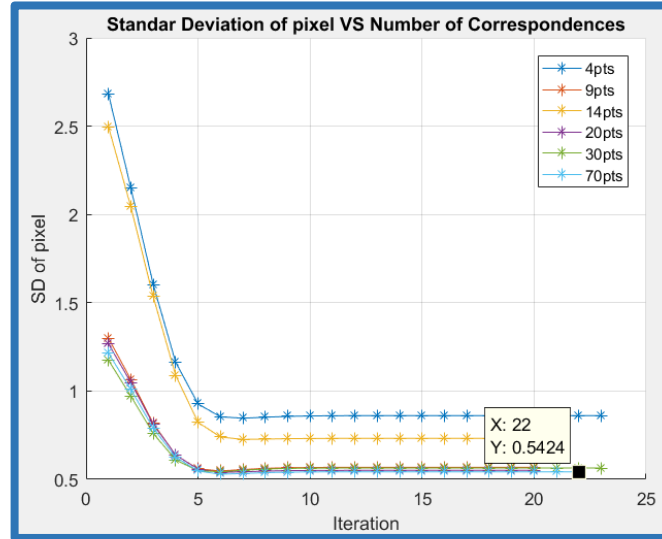
$$J = \frac{\partial \epsilon}{\partial M} = \begin{bmatrix} \frac{\partial h^1}{\partial M} \\ \frac{\partial h^2}{\partial M} \\ \vdots \\ \frac{\partial h^m}{\partial M} \end{bmatrix} = \begin{bmatrix} \frac{\partial h^1}{\partial F} & \frac{\partial h^1}{\partial C} & \frac{\partial h^1}{\partial S} & \frac{\partial h^1}{\partial K_D} & \frac{\partial h^1}{\partial \vec{q}_1} & \frac{\partial h^1}{\partial T_{c_1}} & 0_{2 \times n \times 3} & 0_{2 \times n \times 3} & \dots & 0_{2 \times n \times 3} & 0_{2 \times n \times 3} \\ \frac{\partial h^2}{\partial F} & \frac{\partial h^2}{\partial C} & \frac{\partial h^2}{\partial S} & \frac{\partial h^2}{\partial K_D} & 0_{2 \times n \times 3} & 0_{2 \times n \times 3} & \frac{\partial h^2}{\partial \vec{q}_2} & \frac{\partial h^2}{\partial T_{c_2}} & \dots & 0_{2 \times n \times 3} & 0_{2 \times n \times 3} \\ \vdots & \ddots & 0_{2 \times n \times 3} & 0_{2 \times n \times 3} \\ \frac{\partial h^m}{\partial F} & \frac{\partial h^m}{\partial C} & \frac{\partial h^m}{\partial S} & \frac{\partial h^m}{\partial K_D} & 0_{2 \times n \times 3} & \dots & \frac{\partial h^m}{\partial \vec{q}_m} & \frac{\partial h^m}{\partial T_{c_m}} \end{bmatrix}$$

Результаты калибровки



50 изображений для калибровки, 70 точек для одного изображения

Количество параметров: 310
Матрица Якобы: 7000x310



Визуализация внешних параметров

Внутренние параметры: Model FI8918W, 480x640 pixels , 15fps

Фокусное расстояние:

$$f_x = 635.61266 \text{ (pixel)}$$

$$f_y = 636.45016 \text{ (pixel)}$$

Skew: $S = 0.0$

искажение : $K_1 = -0.44492$, $K_2 = 0.25395$, $p_1 = 0.00246$, $p_2 = -0.00378$, $K_3 = 0.000$

SD : 0.54 pixel

Основная точка

$$u_0 = 320.88665 \text{ (pixel)}$$

$$v_0 = 246.79063 \text{ (pixel)}$$

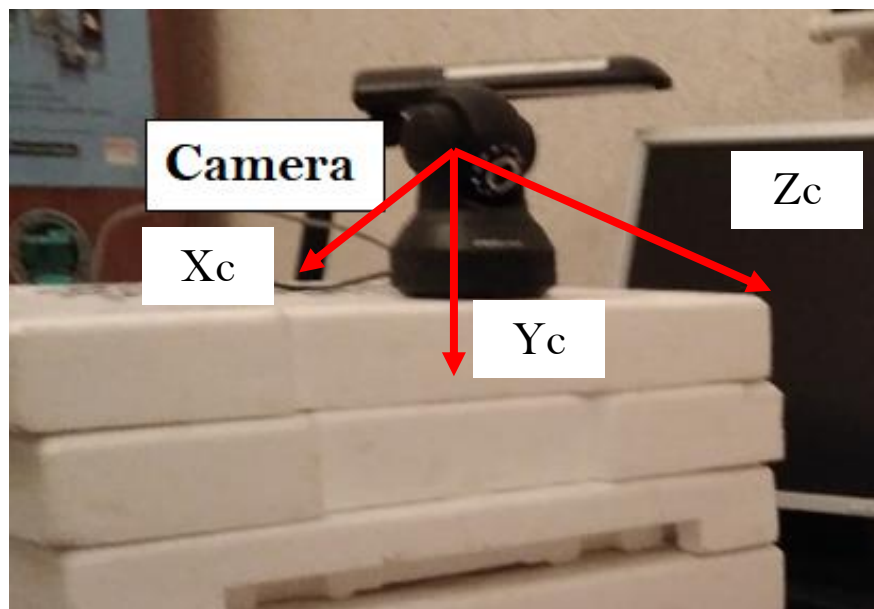
Калибровочное программное⁶ использовалось потому, что оно дает возможность выбирать точки каждого изображения. Этот инструмент основан на формуле вращения Формулы поворота Родрига

⁶Bouguet, J. Y. Camera Calibration Toolbox for Matlab, 2015, Available: http://www.vision.caltech.edu/bouguetj/calib_doc/ (дата обращения: 20.06.220).

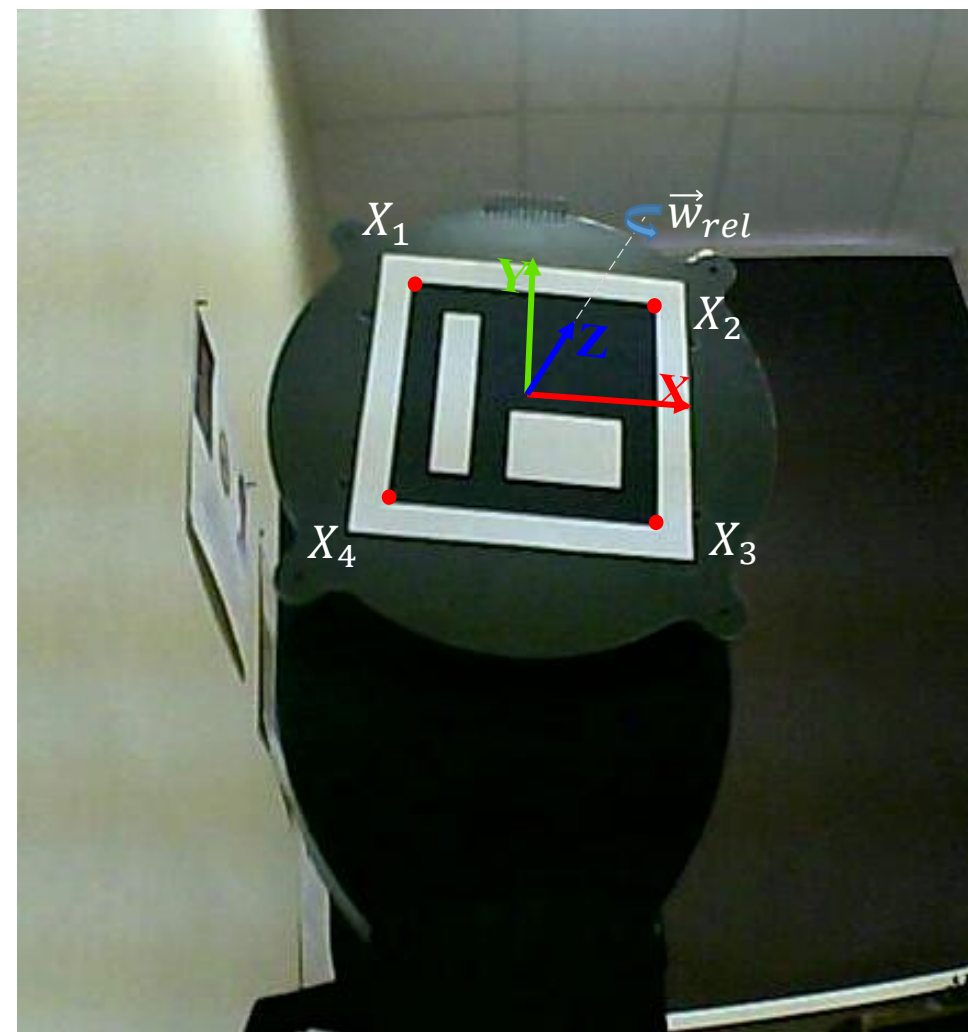
Важно отметить, что хотя во время калибровки значения внутренних и внешних параметров оптимизируются. Основная цель состоит в том, чтобы определить внутренние параметры

Опыт : Поворот на 90 градусов

Использование Aruco marker⁸ помогает установить соответствие между точкой из связанной системы координат и системой координат изображения



Необходимо знать размер Aruco marker

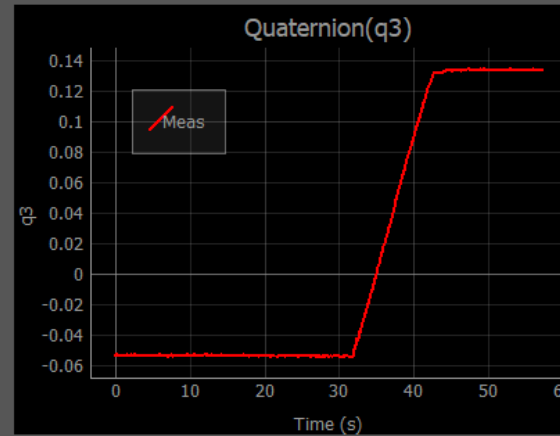
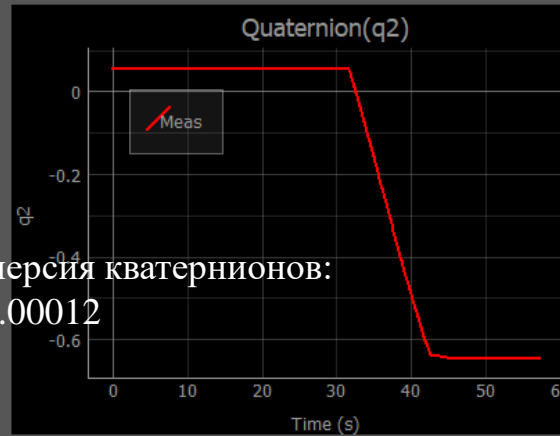
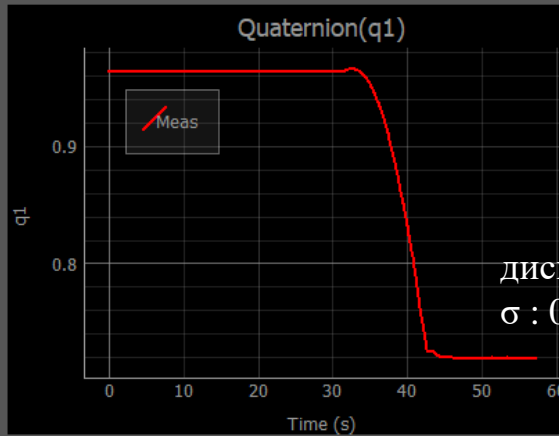


Поворотный стол вращается по оси Z

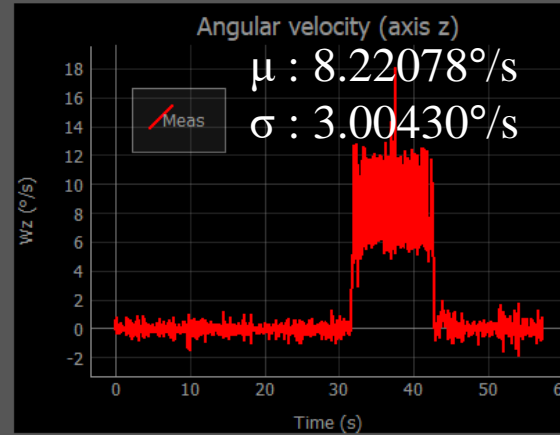
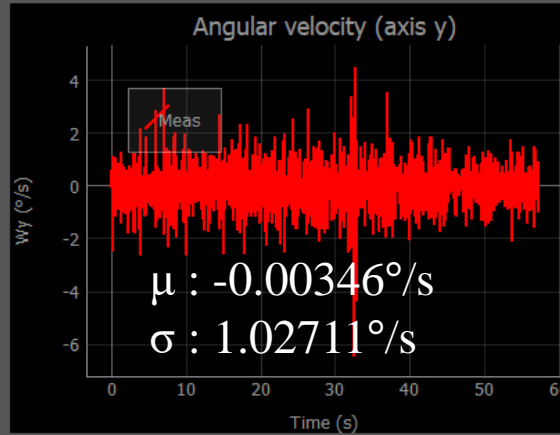
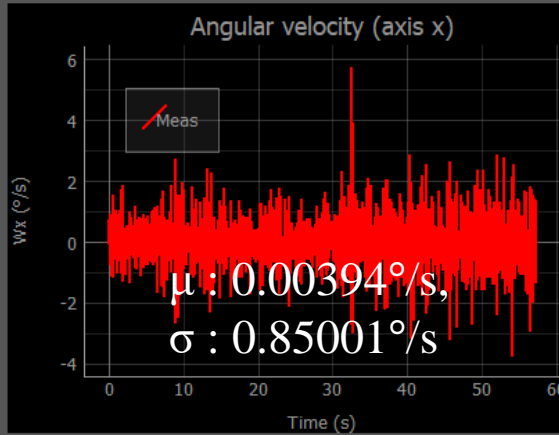
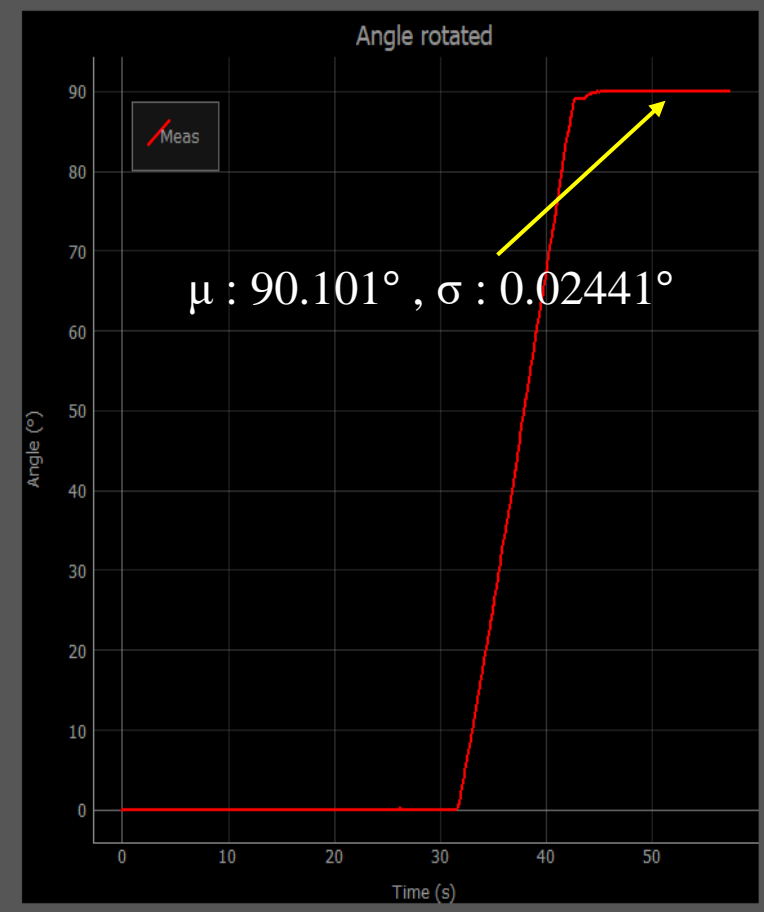
⁷F. J. Romero-Ramirez, R. Muñoz-Salinas, R. Medina-Carnicer. *Speeded up detection of squared fiducial markers*, Image and Vision Computing, 2018, vol 76, pages 38-47

Опыт : Поворот на 90 градусов

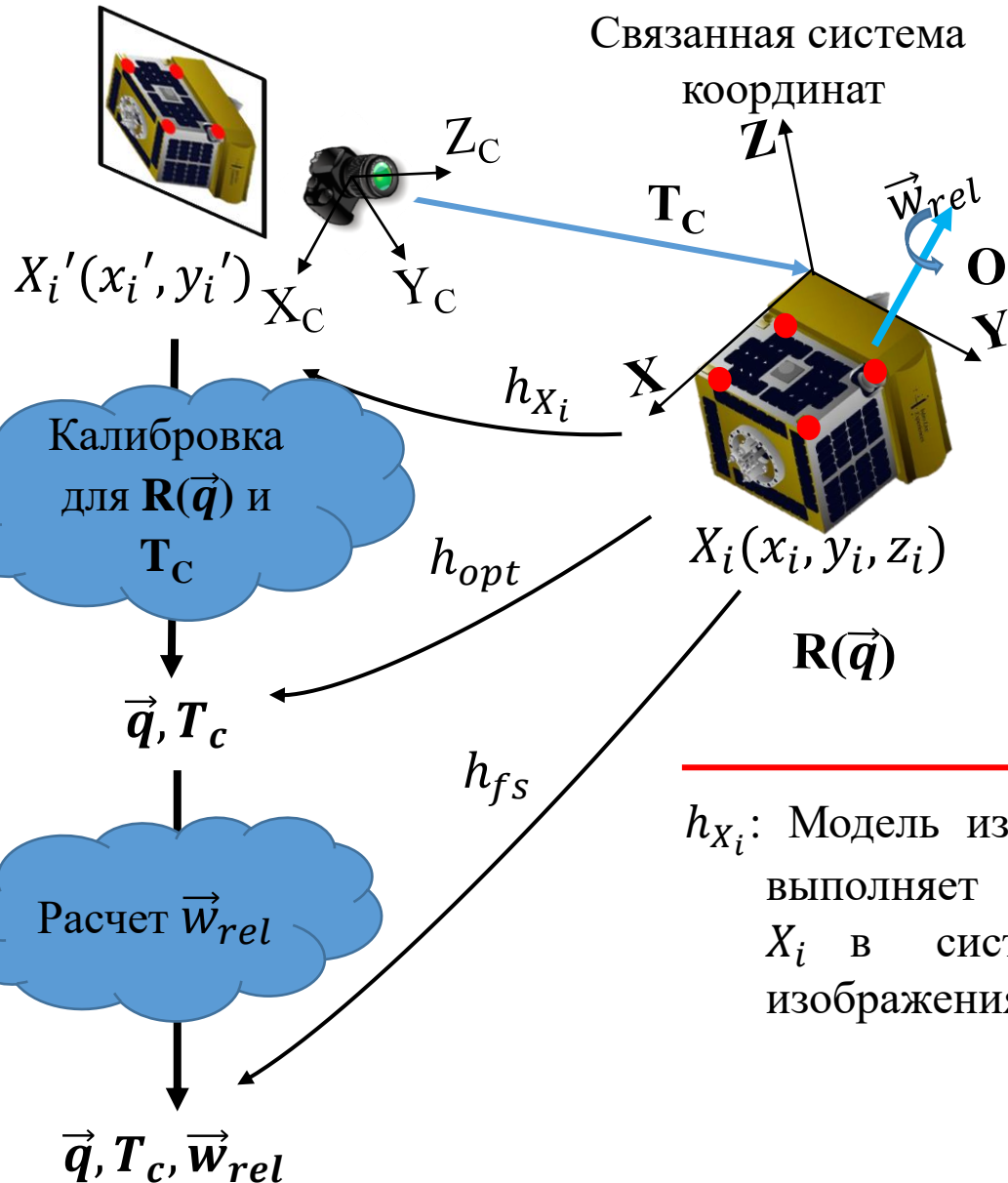
Измерение ориентации с использованием модели измерения и процесса калибровки только для ориентации



дисперсия кватернионов:
 $\sigma : 0.00012$



Пространство состояний системы



h_{opt} : Определяет \vec{q} и T_c с помощью итерационного процесса, это требует больше вычислительного времени

Модель наблюдения для модели состояния пространства:

$$\mathbf{z} = \begin{bmatrix} \vec{q} \\ T_c \end{bmatrix} = h_{opt}(\vec{q}, T_c)$$

h_{fs} : Добавляет измерения угловой скорости, полученные из последовательных ориентации $R(\vec{q})$ объекта, измеренных в каждый период времени Δt

Модель наблюдения для модели состояния пространства:

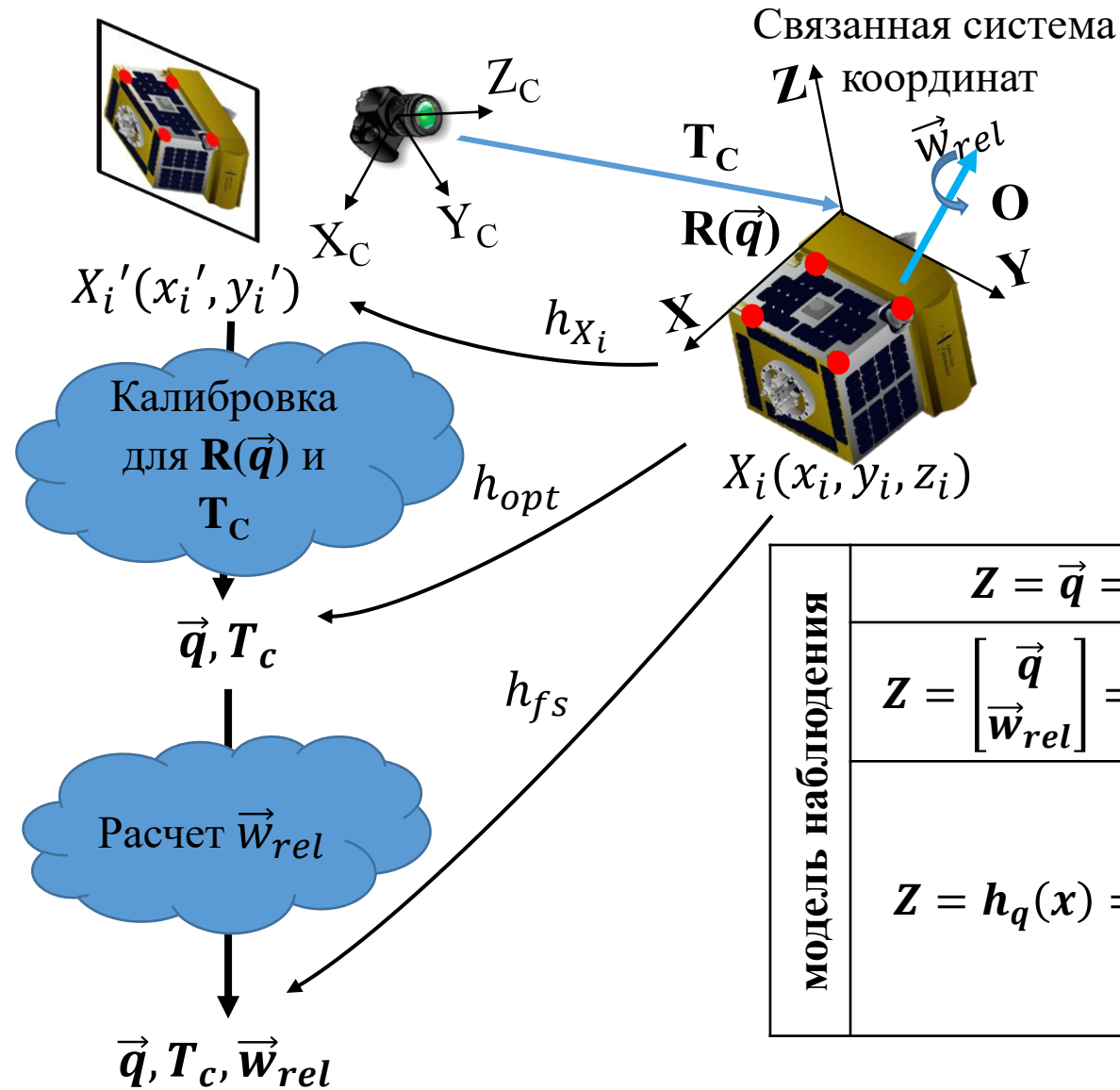
$$\begin{bmatrix} \vec{q} \\ T_c \\ \vec{w} \end{bmatrix} = h_{fs}(\vec{q}, T_c, \vec{w})$$

h_{X_i} : Модель измерения, которая выполняет проекцию точки X_i в систему координат изображения

Модель наблюдения для модели состояния пространства системы

$$\mathbf{z} = \mathbf{h}_q(\mathbf{x}) = \begin{bmatrix} h_{X_1}(\vec{q}, T_c) \\ h_{X_2}(\vec{q}, T_c) \\ h_{X_3}(\vec{q}, T_c) \\ h_{X_4}(\vec{q}, T_c) \end{bmatrix}$$

Пространство состояний системы



		модель процесса	
		Непрерывное время	Дискретное время
		$\dot{\Lambda} = \frac{1}{2} \Lambda \circ \vec{w}_{rel}$ $\dot{w}_{rel} = 0_{3 \times 1}$	$\Lambda_k = [I_{4 \times 4} + \frac{1}{2} \Psi_{k-1} \Delta t] \Lambda_{k-1}$ $\vec{w}_{rel k} = \vec{w}_{rel k-1}$
модель наблюдения	$Z = \vec{q} = h_{opt}(\vec{q})$	не работает	ok
	$Z = \begin{bmatrix} \vec{q} \\ \vec{w}_{rel} \end{bmatrix} = h_{fs}(\vec{q}, \vec{w}_{rel})$	ok	ok
	$Z = h_q(x) = \begin{bmatrix} h_{X_1}(\vec{q}, T_c) \\ h_{X_2}(\vec{q}, T_c) \\ h_{X_3}(\vec{q}, T_c) \\ h_{X_4}(\vec{q}, T_c) \end{bmatrix}$	h_q : Сильно нелинейно	h_q : Сильно нелинейно

Задание матриц для работы непрерывного ЕКФ

Вектор состояния $\mathbf{x} = \begin{bmatrix} \vec{q} \\ \vec{w} \end{bmatrix}$ $\Lambda = [q_0, q_1, q_2, q_3]^T = \begin{bmatrix} q_0 \\ \vec{q} \end{bmatrix}$
 $\vec{w} = [w_x, w_y, w_z]^T$

Линеаризация уравнений движения

$$\frac{d}{dt} \delta \mathbf{x}(t) = \mathbf{F}(t) \delta \mathbf{x}(t)$$

Модель движения $\dot{\Lambda} = \frac{1}{2} \Lambda \circ \vec{w}_{rel}, \quad |\Lambda| = 1$

$$\dot{w}_{rel} = 0_{3 \times 1}$$

$$\mathbf{F} = \begin{bmatrix} -[\vec{w}_{rel}]_x & 0.5 \mathbf{I}_{3 \times 3} \\ 0_{3 \times 3} & 0_{3 \times 3} \end{bmatrix}$$

Модель измерений $\mathbf{z}_K = \mathbf{H} \mathbf{x}_k = \mathbf{h}_{fs}(\vec{q}, \vec{w}) \quad \mathbf{H} = \mathbf{I}_6$

Начальное значение матрицы ошибок $\mathbf{P}(0) = \mathbf{I}_{6 \times 6}$

$$[\vec{w}_{rel}]_x = \begin{bmatrix} 0 & -w_z & w_y \\ w_z & 0 & -w_x \\ -w_y & w_x & 0 \end{bmatrix}$$

Матрица шума измерений

$$\mathbf{R} = \text{diag}([6.123e - 4, 1.318e - 8, 3.377e - 7, 2.73e - 4, 6.069e - 4, 3.627e - 5])$$

Матрица шума процесса

$$\mathbf{Q} = \text{diag}([1e - 8, 1e - 8, 1e - 8, 9.243e - 5, 1.329e - 4, 2.172e - 5])$$

Задание матриц для работы дискретного ЕКФ

Вектор состояния: $\mathbf{x} = \begin{bmatrix} \vec{q} \\ \vec{w} \end{bmatrix}$ $\Lambda = [q_0, q_1, q_2, q_3]^T = \begin{bmatrix} q_0 \\ \vec{q} \end{bmatrix}$
 $\vec{w}_{rel} = [w_x, w_y, w_z]^T$

Модель движения: $\Lambda_k = \left[I_{4 \times 4} + \frac{1}{2} \Psi_{k-1} \Delta t \right] \Lambda_{k-1}$ $\Psi(\vec{w}_{rel}) = \begin{bmatrix} 0 & -w_x & -w_y & -w_z \\ w_x & 0 & w_z & -w_y \\ w_y & -w_z & 0 & w_x \\ w_z & w_y & -w_x & 0 \end{bmatrix}$
 $\vec{w}_{rel_k} = \vec{w}_{rel_{k-1}}$

Модель измерений: $\mathbf{z}_K = \mathbf{H} \mathbf{x}_k = \mathbf{h}_{opt}(\vec{q})$ $\mathbf{H} = [I_3 \quad \mathbf{0}_{3 \times 3}]$

Начальное значение матрицы ошибок: $P(0) = I_{6 \times 6}$

Матрица шума измерений: $R = \begin{bmatrix} \sigma_{q1}^2 & 0 & 0 \\ 0 & \sigma_{q2}^2 & 0 \\ 0 & 0 & \sigma_{q3}^2 \end{bmatrix}$

, где $\sigma_{q1}^2 = 6.123e-09$, $\sigma_{q2}^2 = 1.318e-08$, $\sigma_{q3}^2 = 3.377e-07$

Матрица шума процесса:

$$Q = \text{diag}([1e - 8, 4.99e - 12, 1. e - 8, 6.28e - 06, 4.55e - 06, 2.47e - 06])$$

Линеаризация уравнений движения:

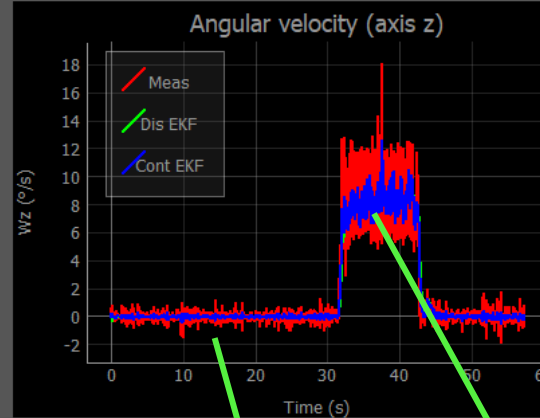
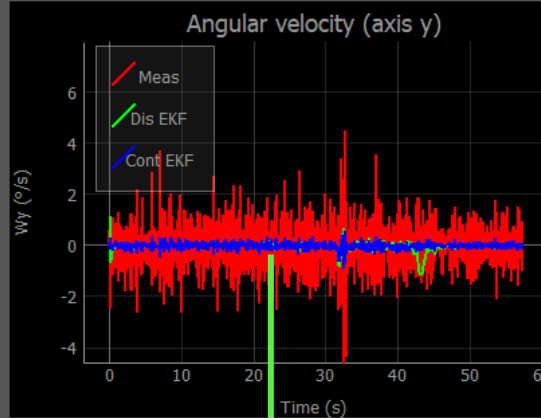
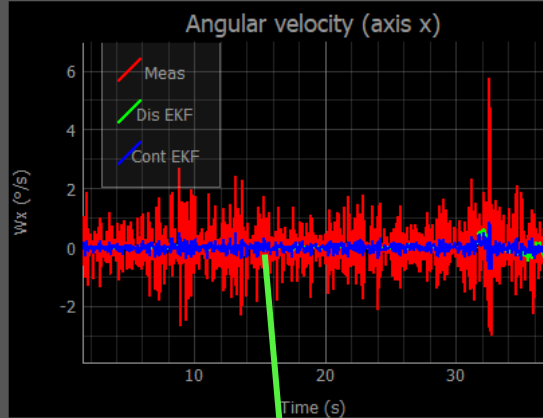
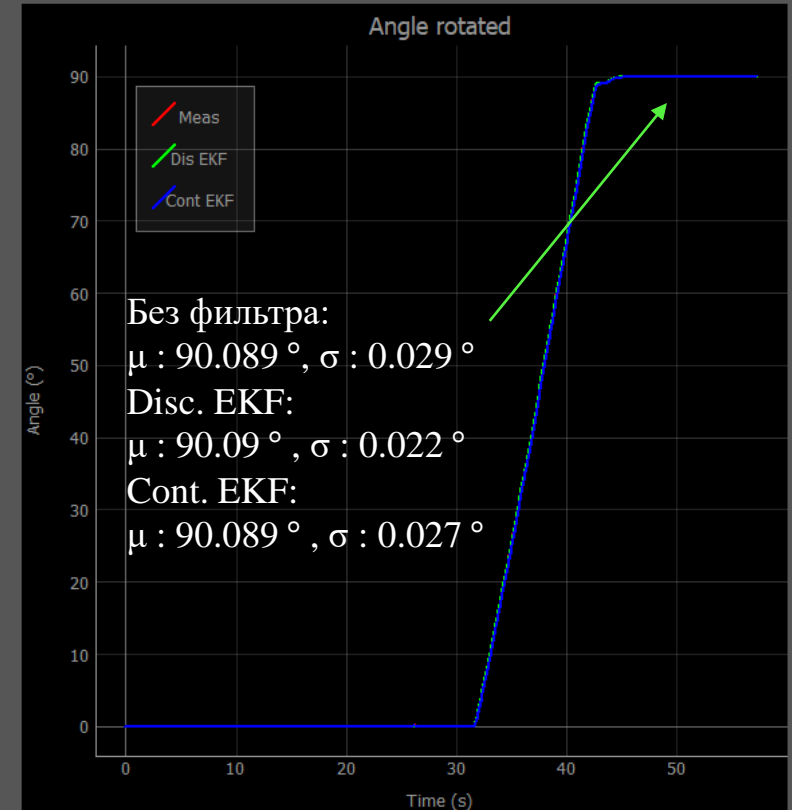
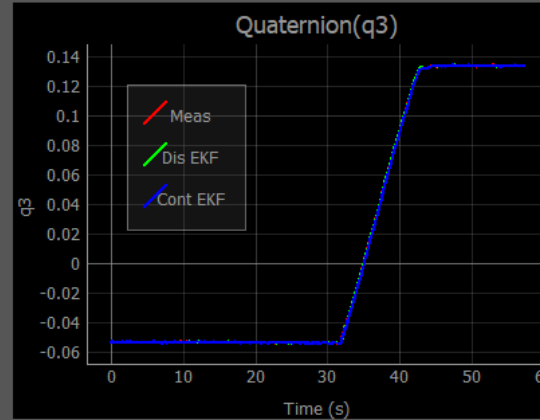
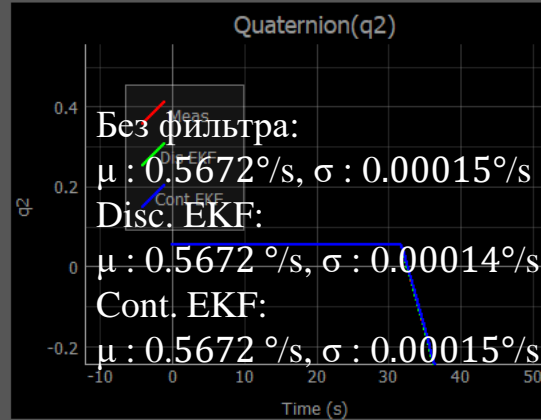
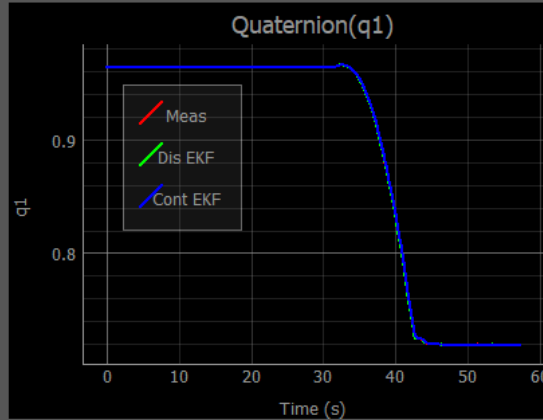
$$\mathbf{F} = \begin{bmatrix} \partial \vec{q}_k / \partial \mathbf{x} \\ \partial \vec{w}_{rel k} / \partial \mathbf{x} \end{bmatrix}$$

$$\frac{\partial \vec{q}_k}{\partial \mathbf{x}} = \begin{bmatrix} \frac{\partial \vec{q}_k}{\partial \vec{q}} & \frac{\partial \vec{q}_k}{\partial \vec{w}_{rel}} \end{bmatrix}$$

$$\frac{\partial \vec{q}_k}{\partial \vec{q}} = \begin{bmatrix} \frac{\partial q_1}{\partial \vec{q}} \\ \frac{\partial q_2}{\partial \vec{q}} \\ \frac{\partial q_3}{\partial \vec{q}} \end{bmatrix} = \begin{bmatrix} 1 - \frac{q_1 w_x \Delta t}{q_0 2} & -\frac{q_2 w_x \Delta t}{q_0 2} + \frac{w_z \Delta t}{2} & -\frac{q_3 w_x \Delta t}{q_0 2} - \frac{w_y \Delta t}{2} \\ -\frac{q_1 w_y \Delta t}{q_0 2} - \frac{w_z \Delta t}{2} & 1 - \frac{q_2 w_y \Delta t}{q_0 2} & -\frac{q_3 w_y \Delta t}{q_0 2} + \frac{w_x \Delta t}{2} \\ -\frac{q_1 w_z \Delta t}{q_0 2} - \frac{w_y \Delta t}{2} & -\frac{q_2 w_z \Delta t}{q_0 2} - \frac{w_x \Delta t}{2} & 1 - \frac{q_3 w_z \Delta t}{q_0 2} \end{bmatrix} \quad \frac{\partial \vec{q}_k}{\partial \vec{w}_{rel}} = \begin{bmatrix} q_0 & -q_3 & q_2 \\ q_3 & q_0 & -q_1 \\ -q_2 & q_1 & q_0 \end{bmatrix}$$

$$\frac{\partial \vec{w}_{rel k}}{\partial \mathbf{x}} = [\mathbf{0}_{3 \times 3} \quad \mathbf{I}_3]$$

Опыт II : Поворот на 90 градусов



Без фильтра:
 $\mu : 0.004^\circ/\text{s}, \sigma : 0.791^\circ/\text{s}$
 Disc. EKF: (90%)
 $\mu : 0.004^\circ/\text{s}, \sigma : 0.078^\circ/\text{s}$
 Cont. EKF: (81.7%)
 $\mu : 0.004^\circ/\text{s}, \sigma : 0.144^\circ/\text{s}$

Без фильтра:
 $\mu : 0.001^\circ/\text{s}, \sigma : 1.02^\circ/\text{s}$
 Disc. EKF: (90%)
 $\mu : -0.002^\circ/\text{s}, \sigma : 0.08^\circ/\text{s}$
 Cont. EKF: (86%)
 $\mu : -0.001^\circ/\text{s}, \sigma : 0.13^\circ/\text{s}$

Без фильтра:
 $\mu : -0.003^\circ/\text{s}, \sigma : 0.412^\circ/\text{s}$
 Disc. EKF: (89.1%)
 $\mu : -0.002^\circ/\text{s}, \sigma : 0.043^\circ/\text{s}$
 Cont. EKF: (70%)
 $\mu : -0.002^\circ/\text{s}, \sigma : 0.121^\circ/\text{s}$

Без фильтра:
 $\mu : 7.97^\circ/\text{s}, \sigma : 2.76^\circ/\text{s}$
 Disc. EKF: (80%)
 $\mu : 7.89^\circ/\text{s}, \sigma : 0.53^\circ/\text{s}$
 Cont. EKF: (65.7%)
 $\mu : 7.94^\circ/\text{s}, \sigma : 0.95^\circ/\text{s}$

Заключение

- Ориентацию и угловую скорость объекта можно было оценить с помощью камеры без необходимости дополнительных датчиков. Результаты показали повышение точности до 80% при оценке угловой скорости.
- Что касается ориентации, которая определяется кватернионами, не было значительного улучшения, это потому, что измерение уже является точным.
- Модели наблюдений, основанные на алгоритме калибровки, позволяют получать точные результаты в матрице поворота, что позволяет получать хорошие результаты в приложении ЕКФ при оценке угловой скорости.
- При использовании модели наблюдения, основанной на модели измерения h_{x_i} , никакого результата не было получено, это связано с его высокой нелинейностью. Это потребует большего анализа для будущей работы

Литература

- [1] R. Y. Tsai, “A Versatile Camera Calibration Techniaue for High-Accuracy 3D Machine Vision Metrology Using Off-the-shelf TV Cameras and Lenses, IEEE Journal on Robotics and Automation, 1987, Vol. 3, No. 4, pp. 323 – 344.
- [2] Z. Zhang. Flexible Camera Calibration By Viewing a Plane From Unknown Orientations, Proceedings of the Seventh IEEE International Conference on Computer Vision, Kerkyra, Greece, Greece, September 20-27,1999
- [3] A.A.Boguslavsky, V.V.Sazonov, S.M.Sokolov, A.I.Smirnov, Kh.S.Saigiraev. *Automatic vision-based monitoring of the spacecraft docking approach with the International Space Station*, Proceedings of the First International Conference on Informatics in Control, Automation and Robotics, 2004, pp. 79-86
- [4] Иванов Д. С., Карпенко С.О., Овчинников М. Ю., Сакович М.А. *Определение относительного движения спутников при их разделении по результатам обработки видеоизображения*, Препринт ИПМ им. М.В. Келдыша, 2012, № 57, 24 с.
- [5] D. C. Brown, *Decentering Distortion of Lenses*, *Photometric Engineering* 32(3), 1966, pp. 444–462
- [6] ⁷Bouguet, J. Y. Camera Calibration Toolbox for Matlab, 2015, Available: http://www.vision.caltech.edu/bouguetj/calib_doc/ (дата обращения: 20.06.220)
- [7] F. J. Romero-Ramirez, R. Muñoz-Salinas, R. Medina-Carnicer. *Speeded up detection of squared fiducial markers*, *Image and Vision Computing*, 2018, vol 76, pages 38-47

Спасибо за внимание